

Fig. 1

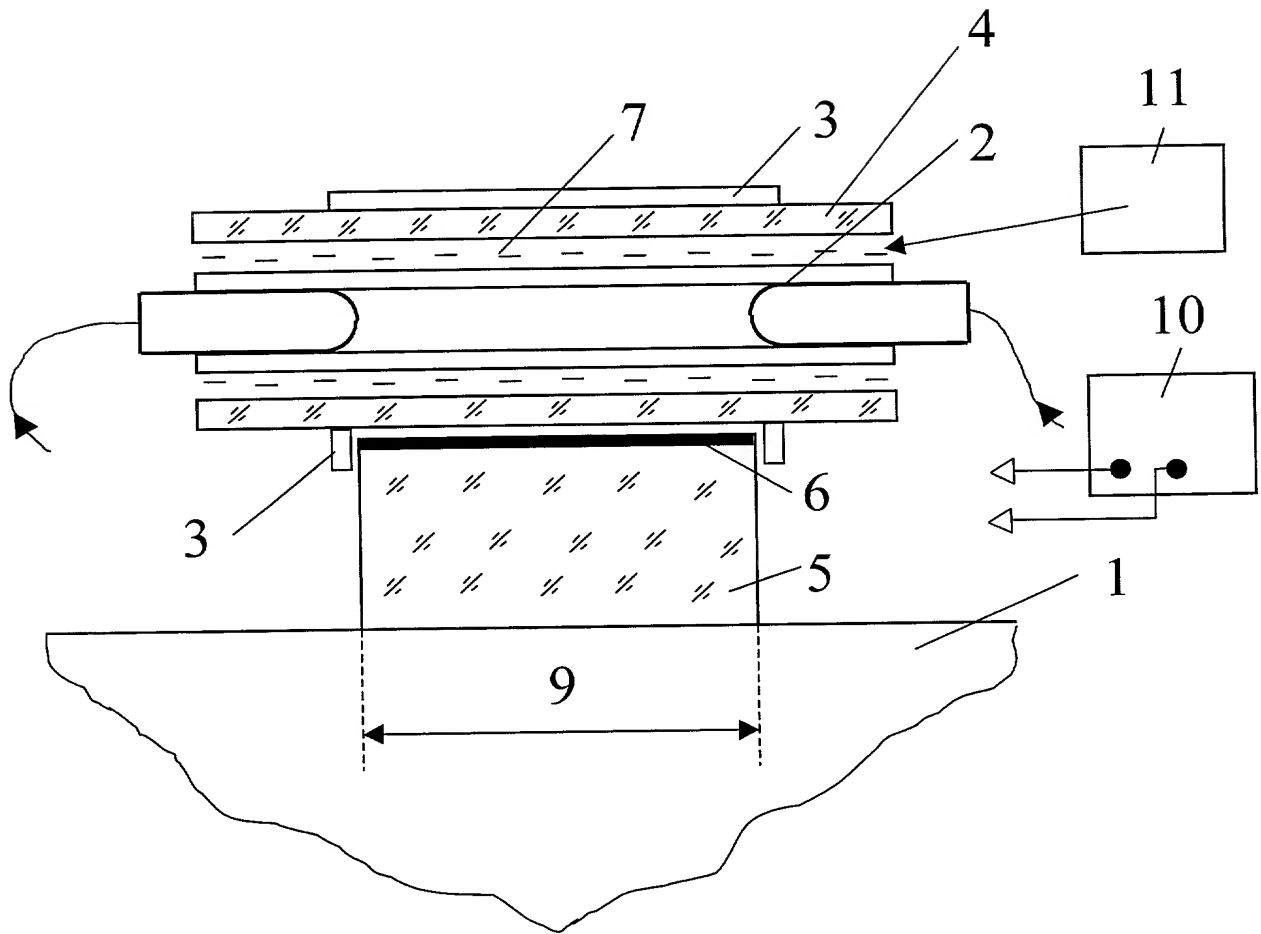


Fig. 2

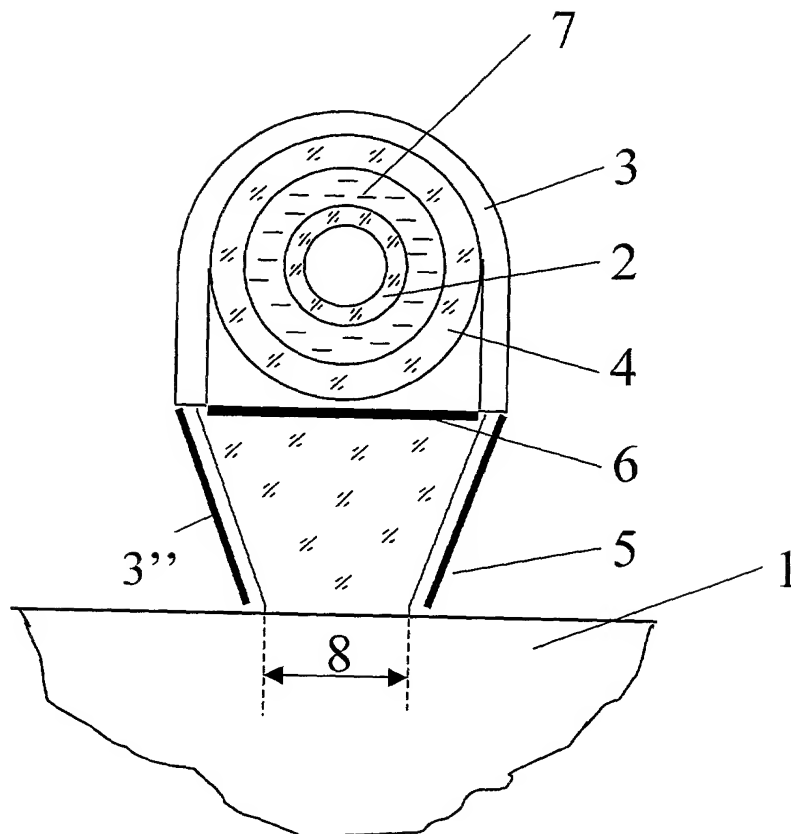


Fig. 1a

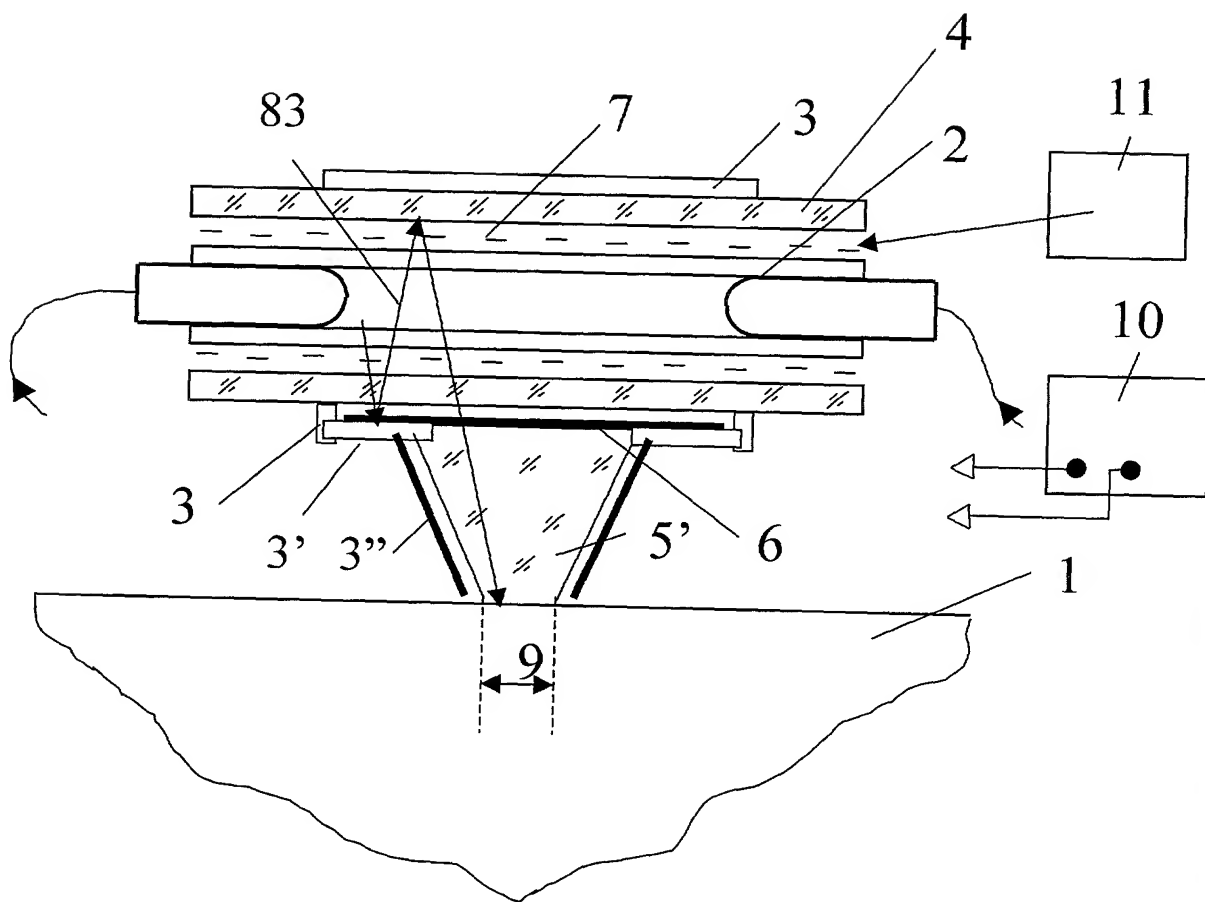


Fig. 2a

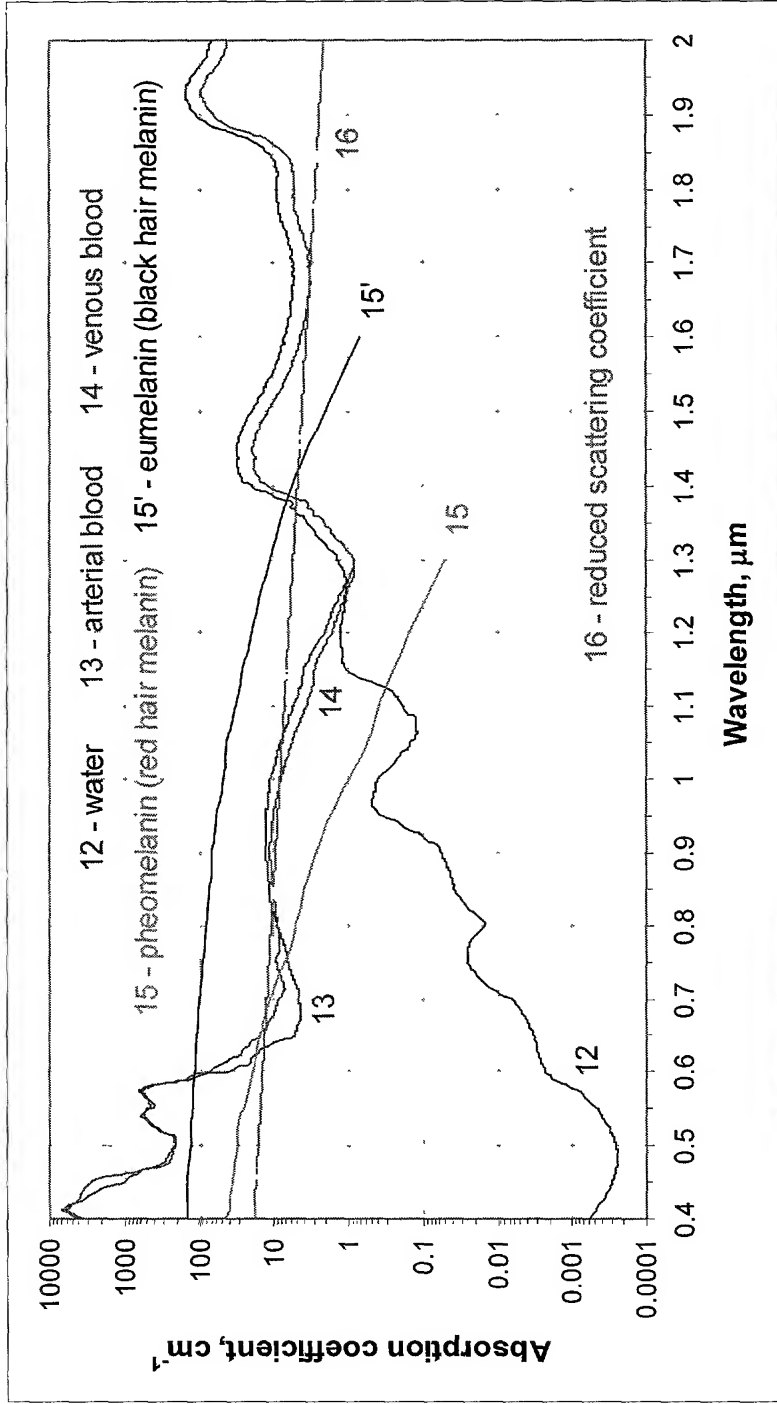


Fig. 3

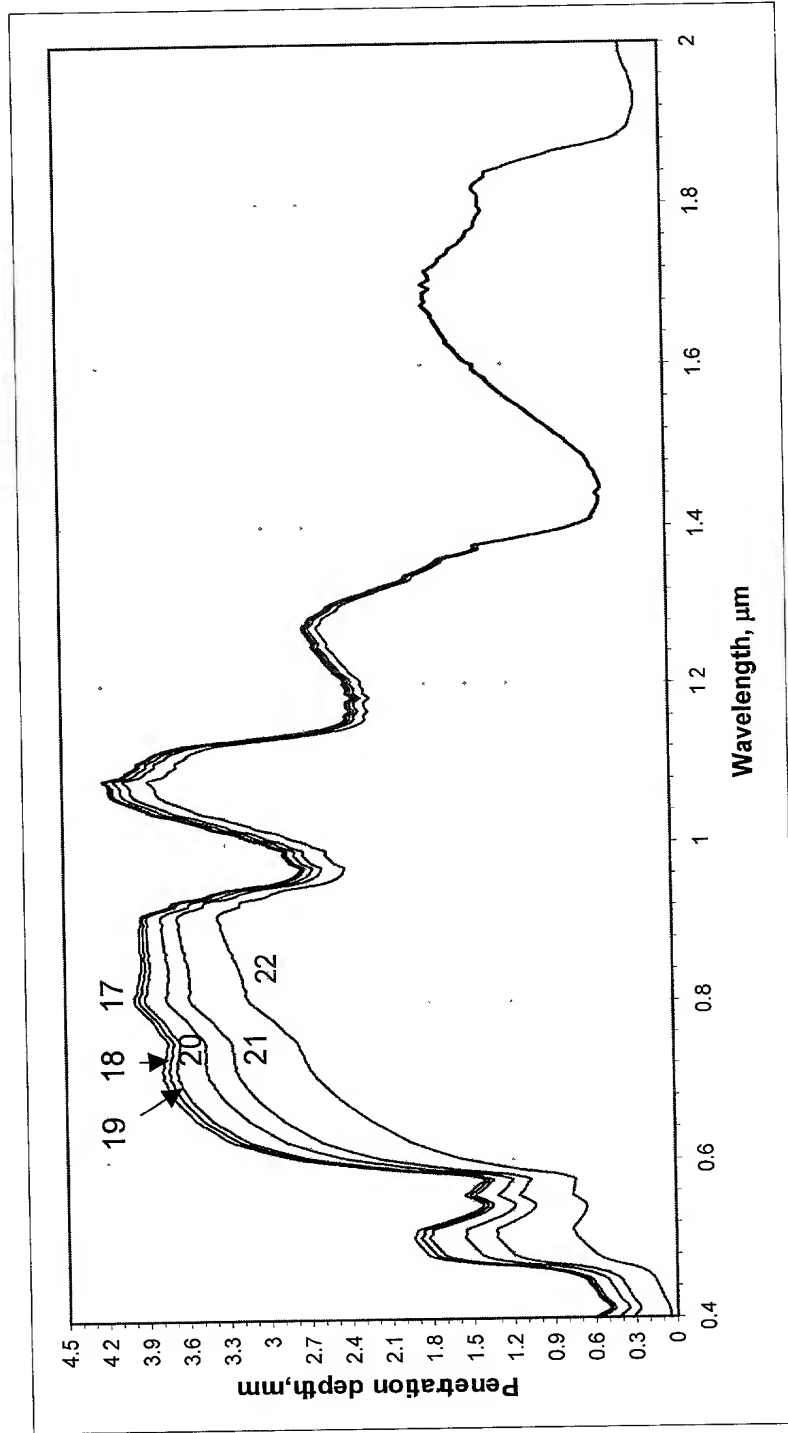


Fig. 4

- 24 – (1ms, Tc 9940K)
- 25 – (5ms, Tc 7528K)
- 26 – (20ms, Tc 5925K)
- 27 – (50ms, Tc 5058K)
- 28 – (100ms, Tc 4448K)
- 29 – (200ms, Tc 3982K)
- 30 – (500ms, Tc 3399K)

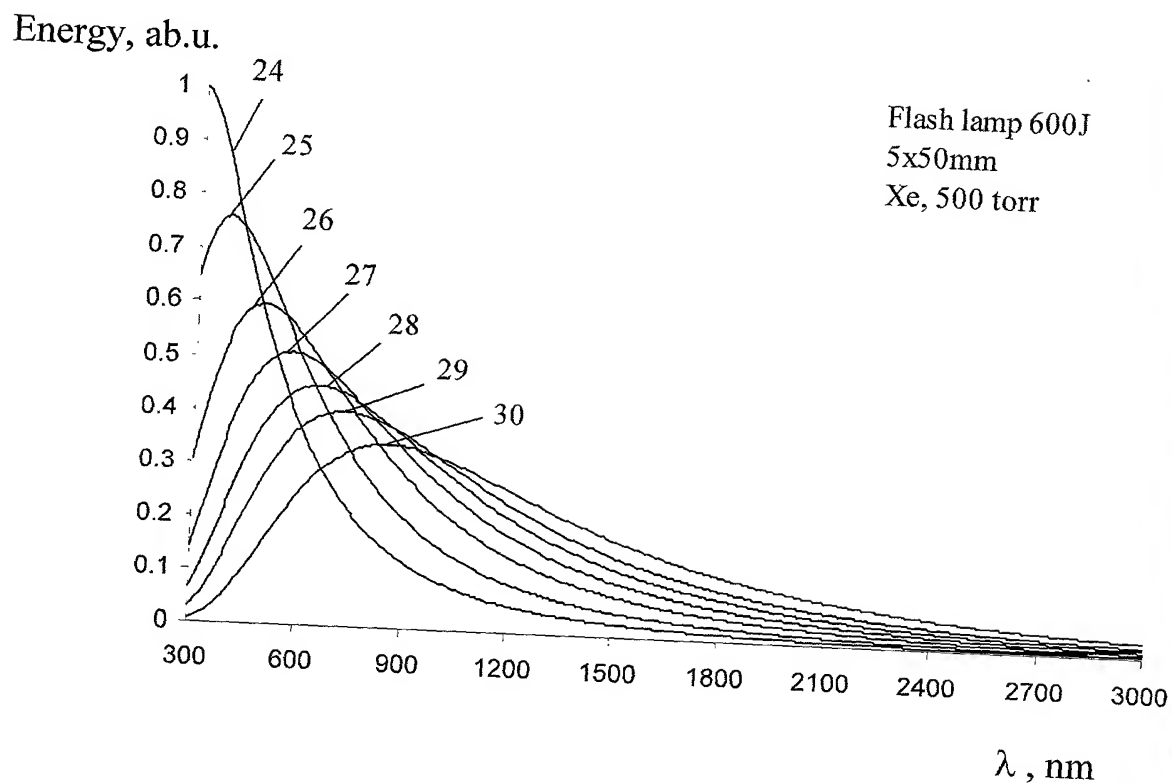


Fig. 5

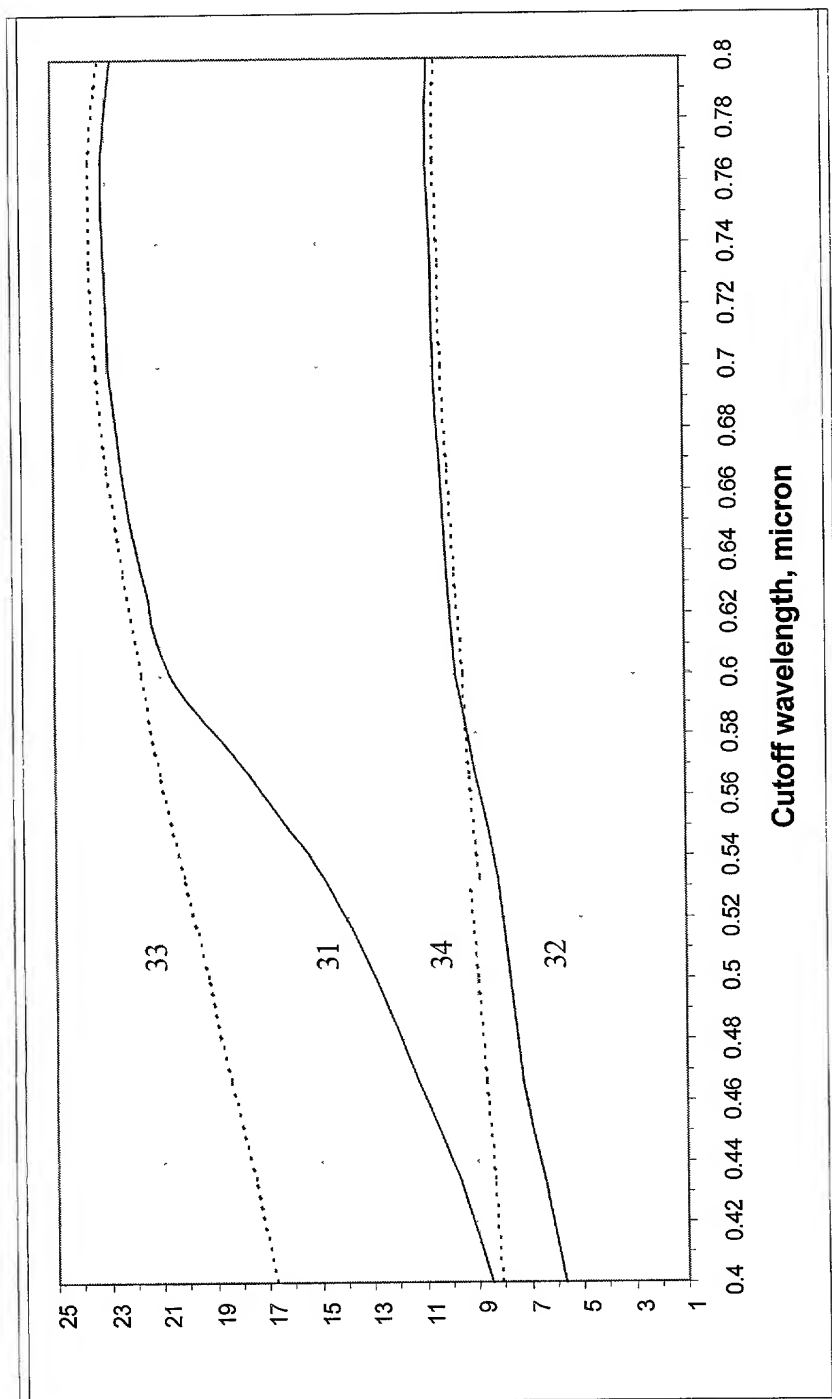


Fig. 6a



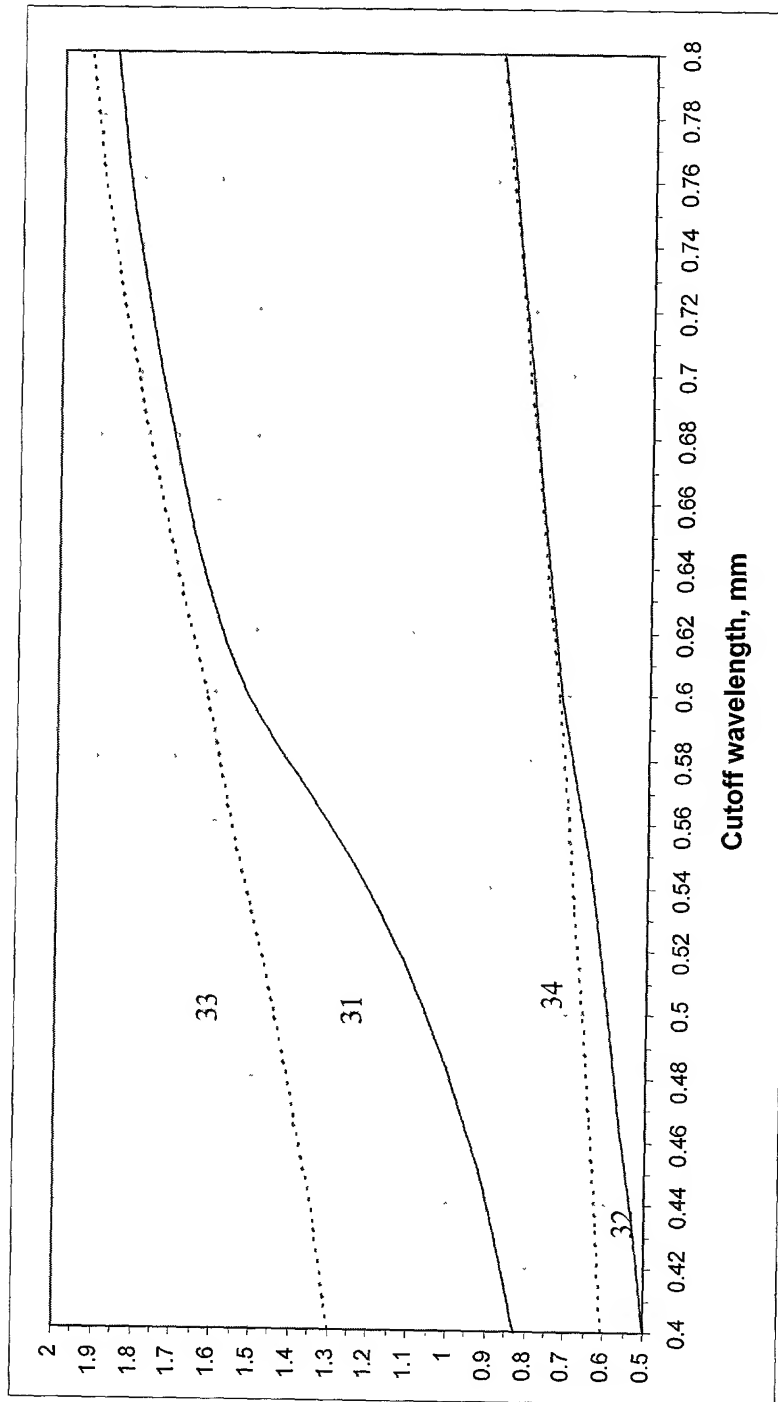


Fig. 6b

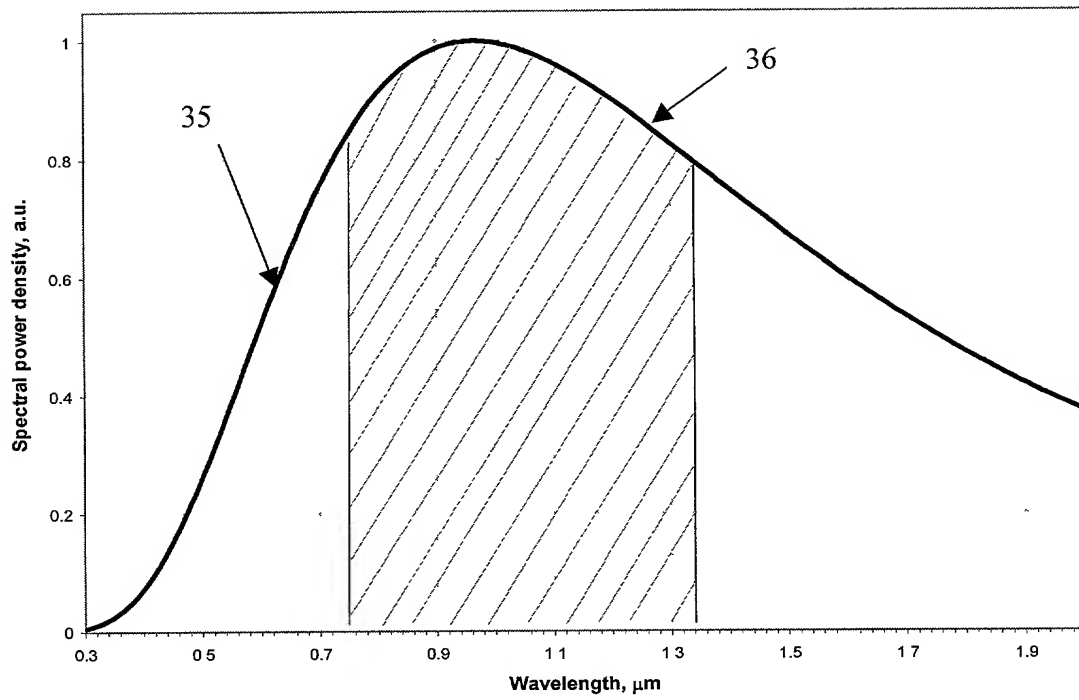


Fig. 7a

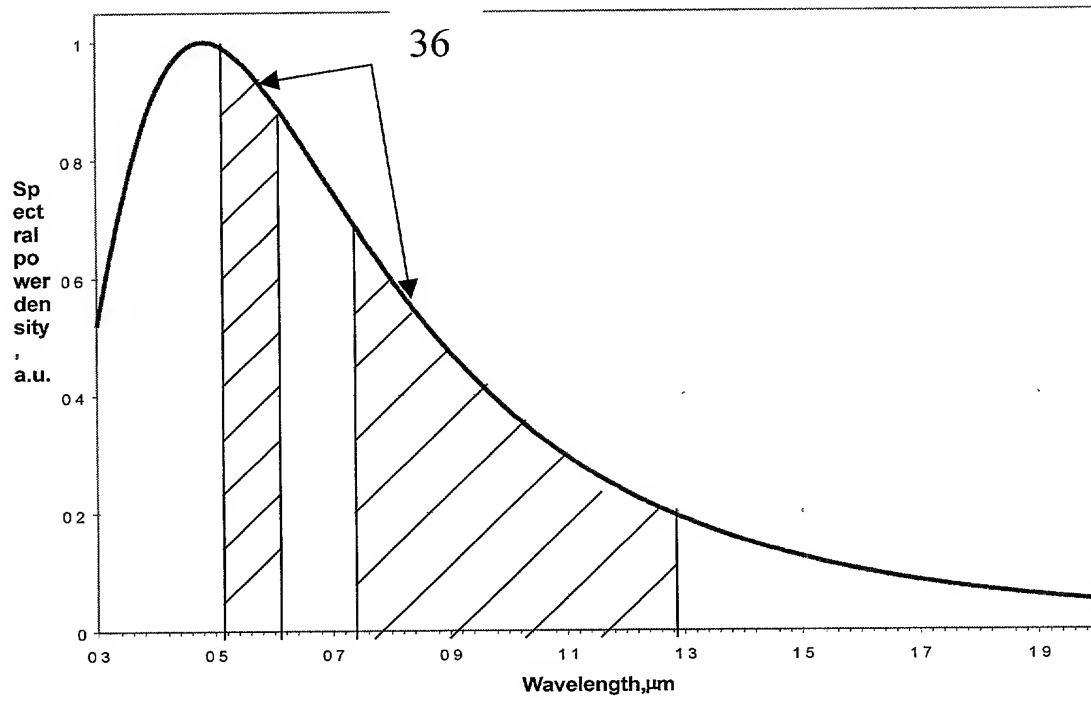


Fig. 7b

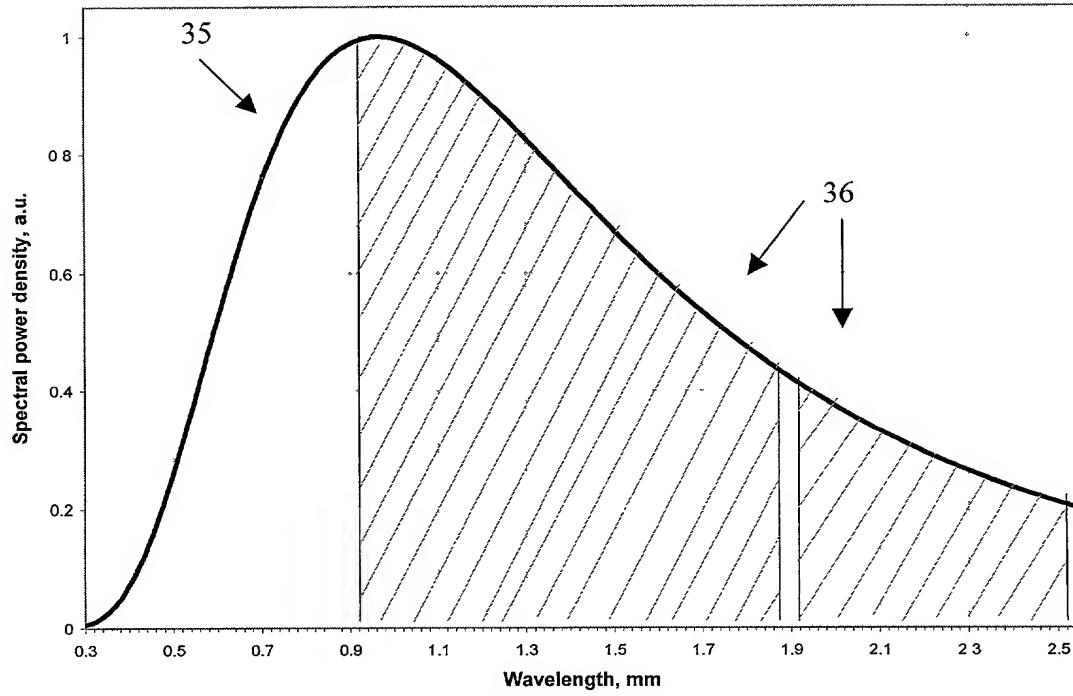


Fig. 7c

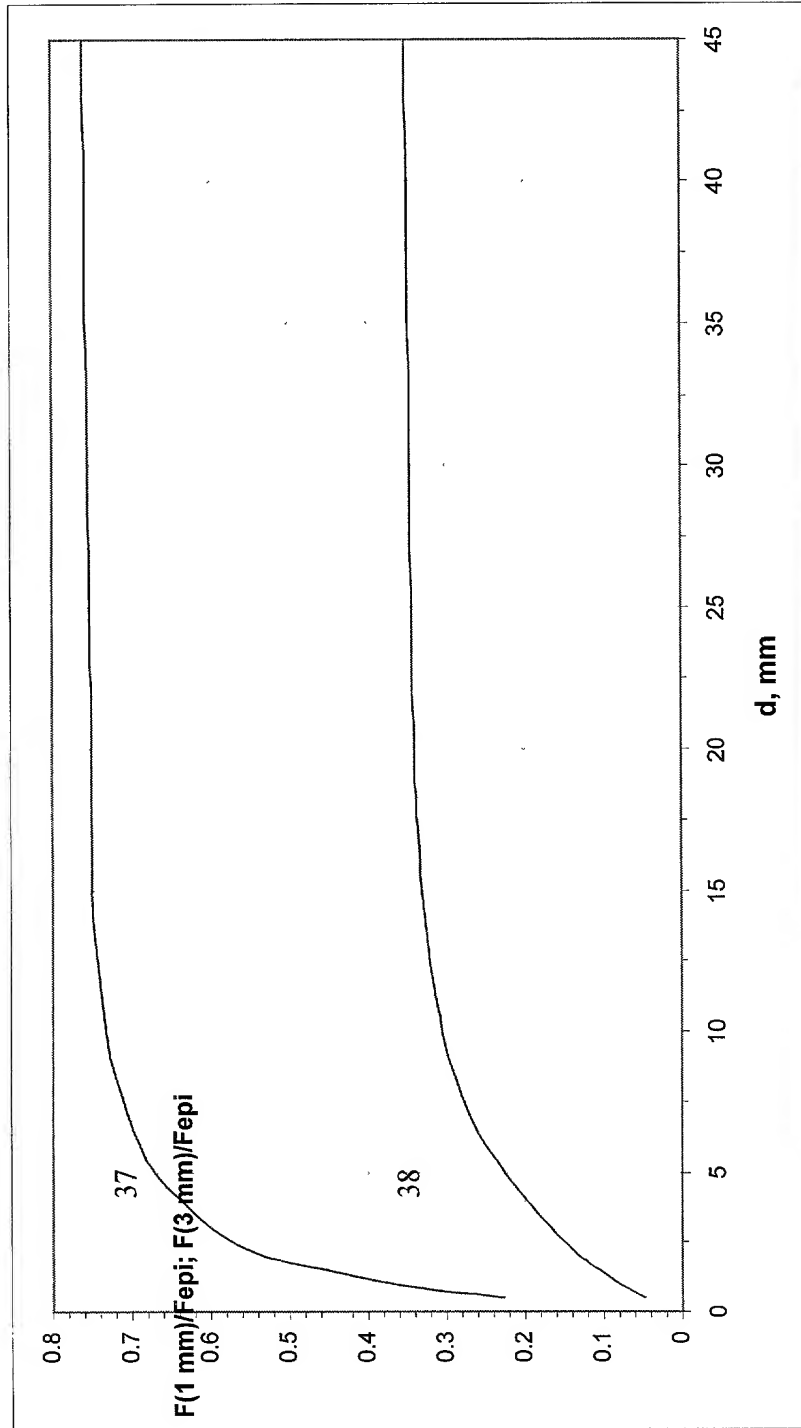


Fig. 8

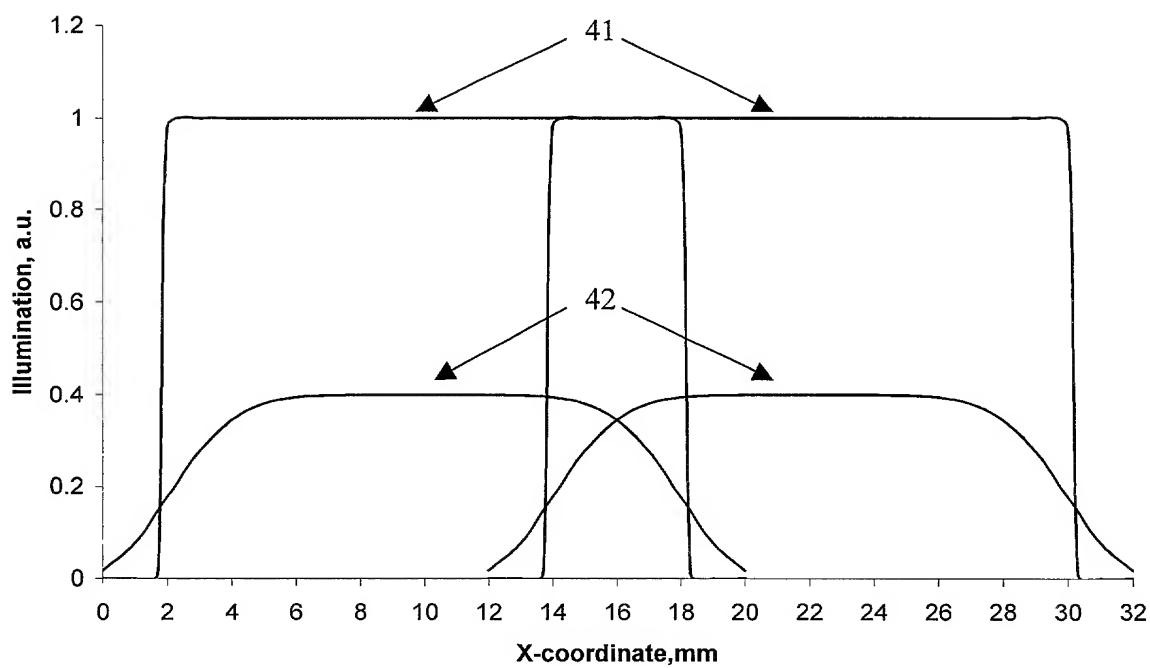
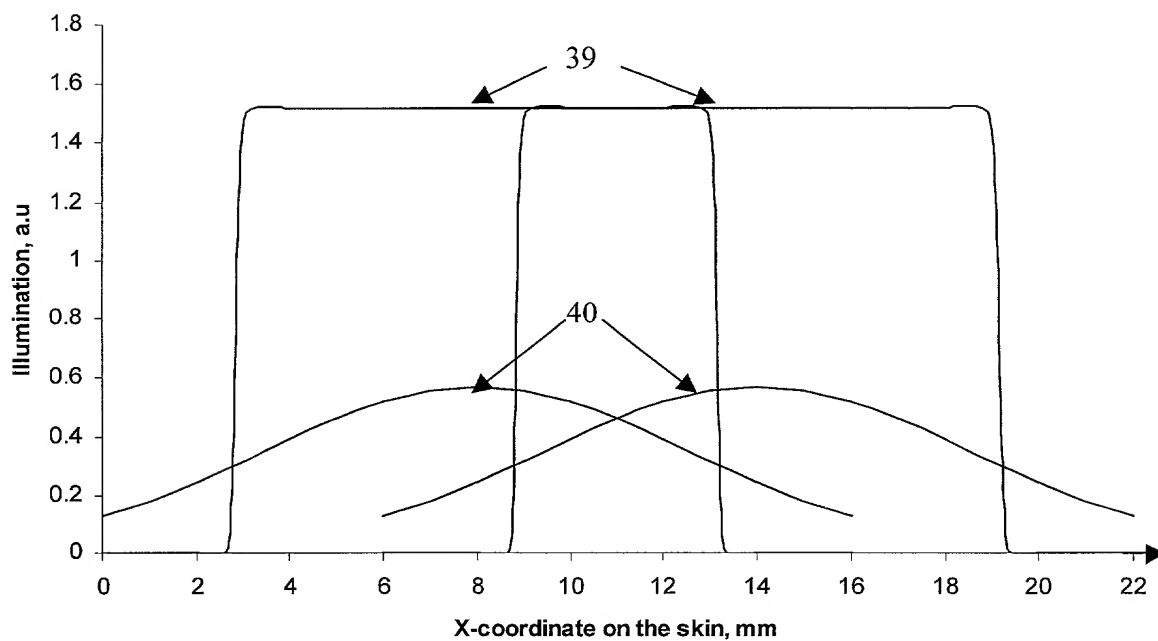


Fig. 9

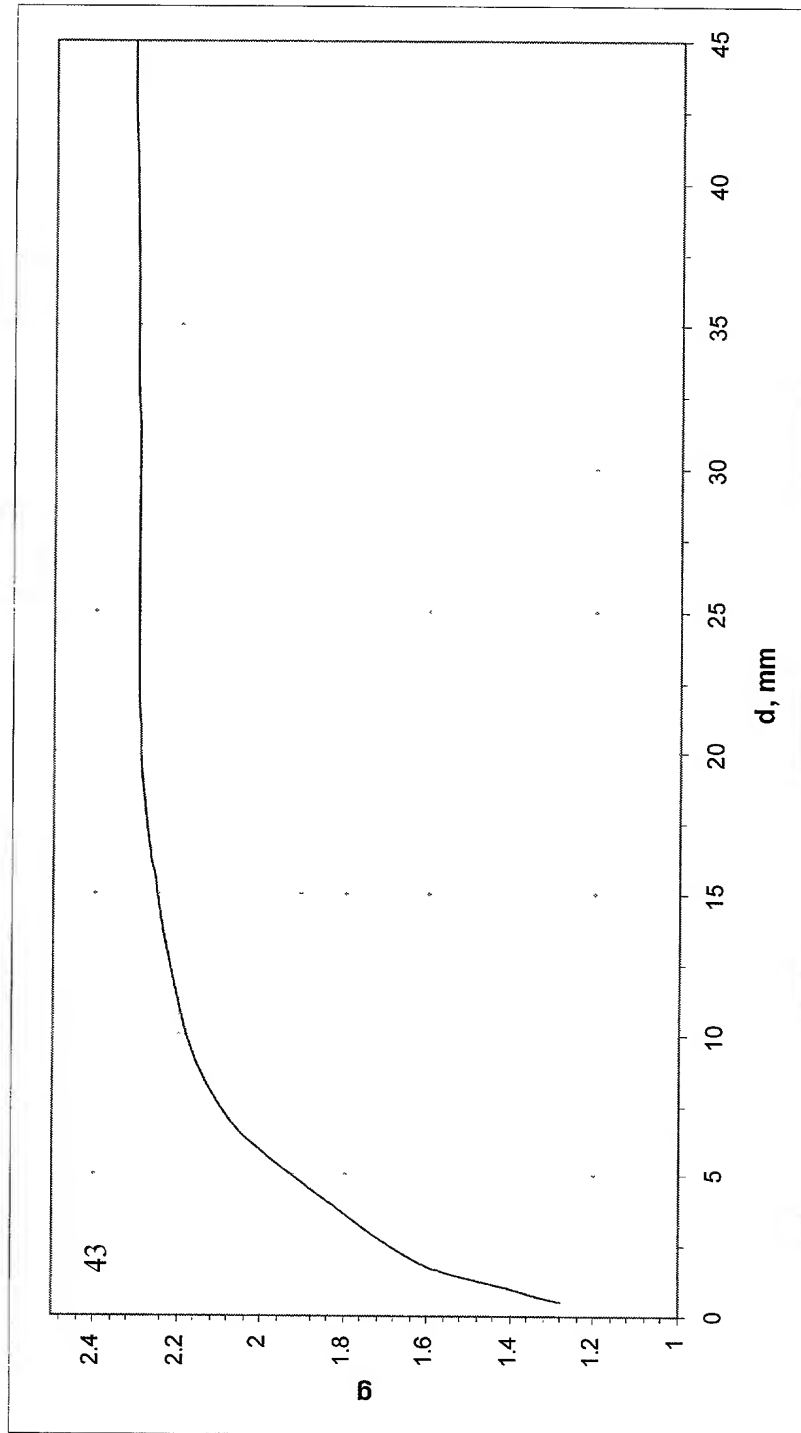


Fig. 10

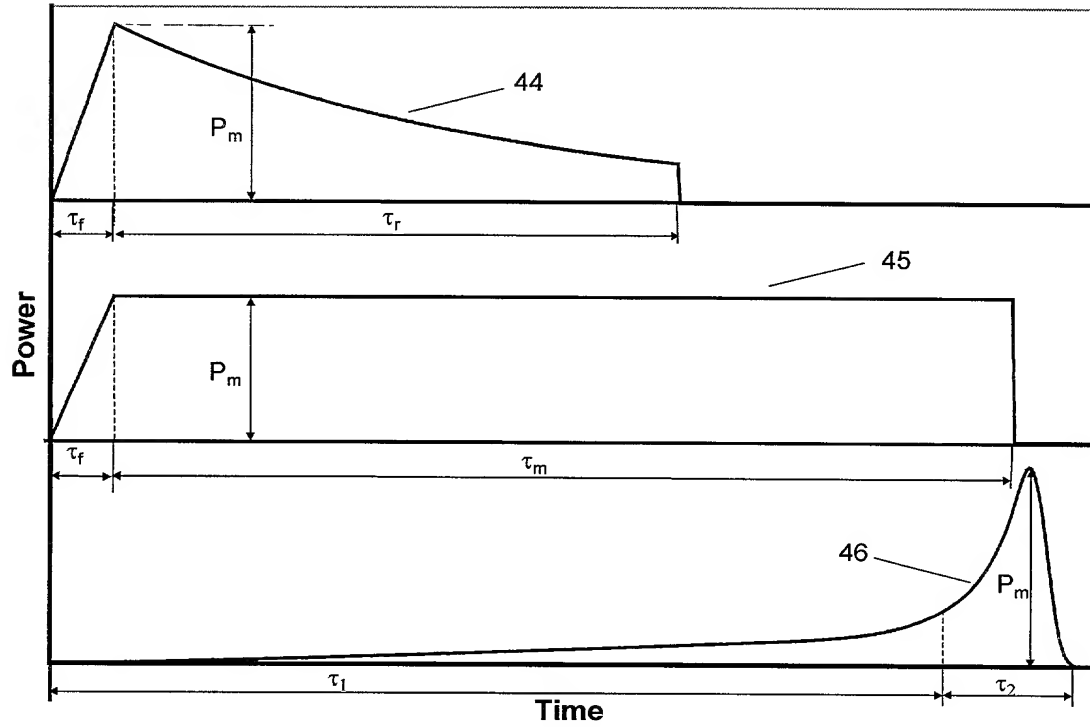


Fig. 11



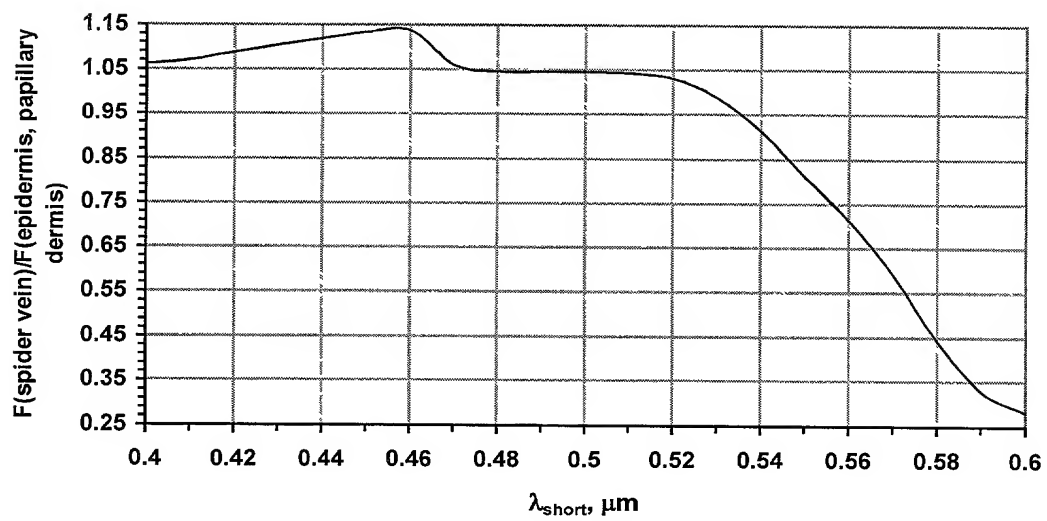


Fig. 12

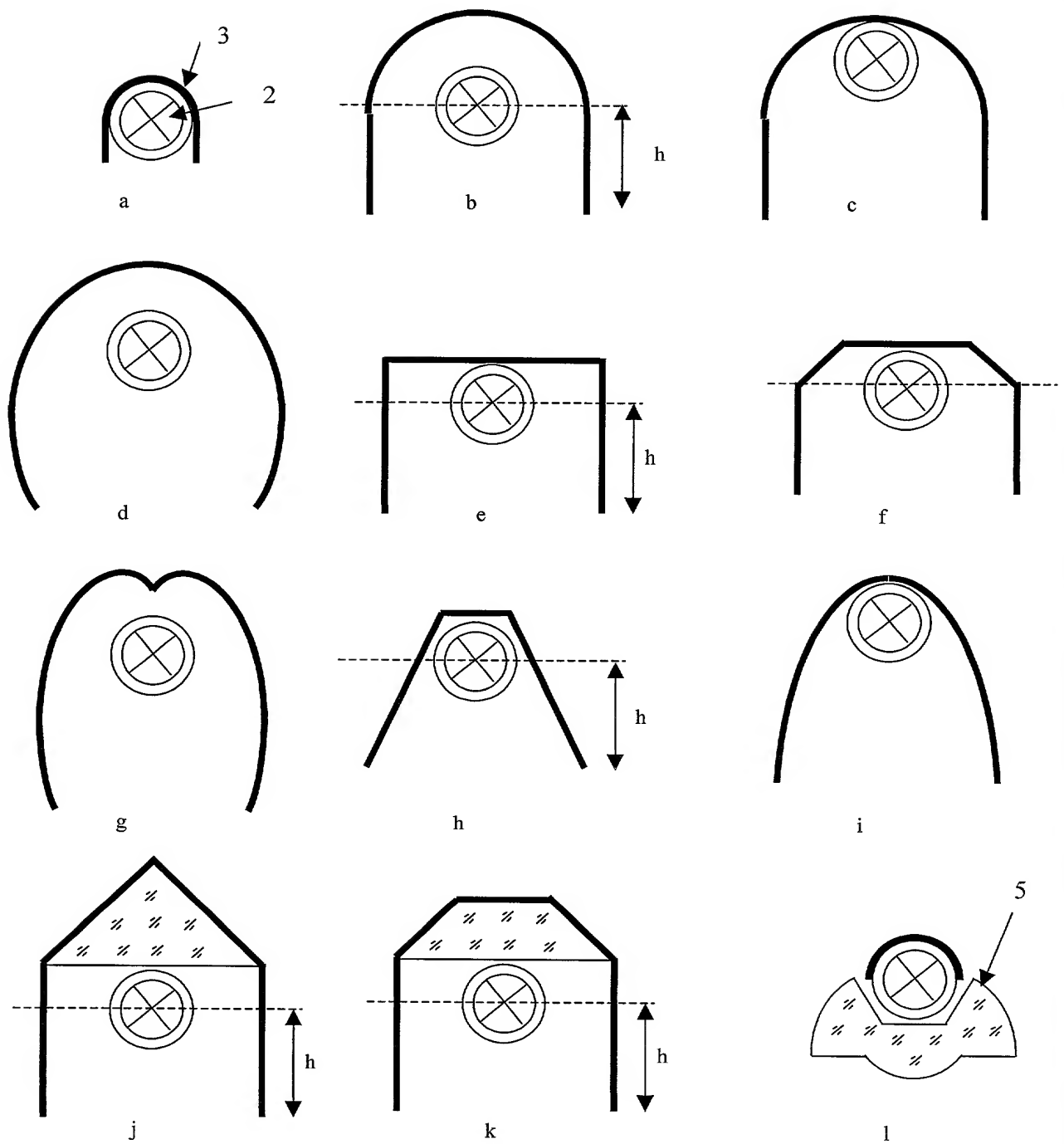


Fig. 13

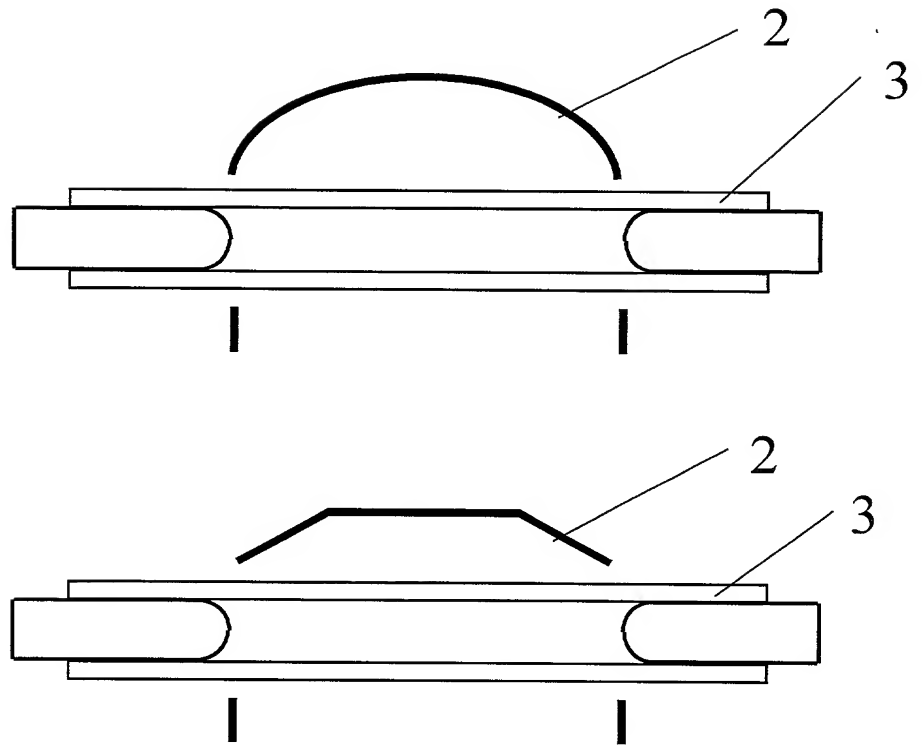


Fig. 14

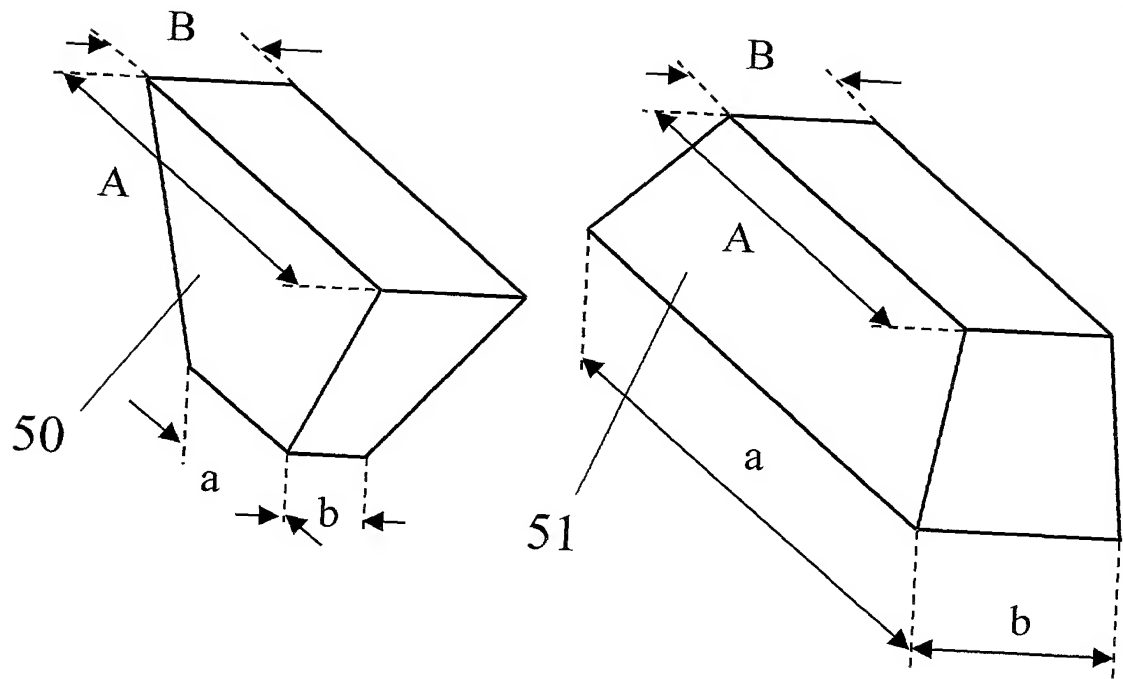


Fig. 15

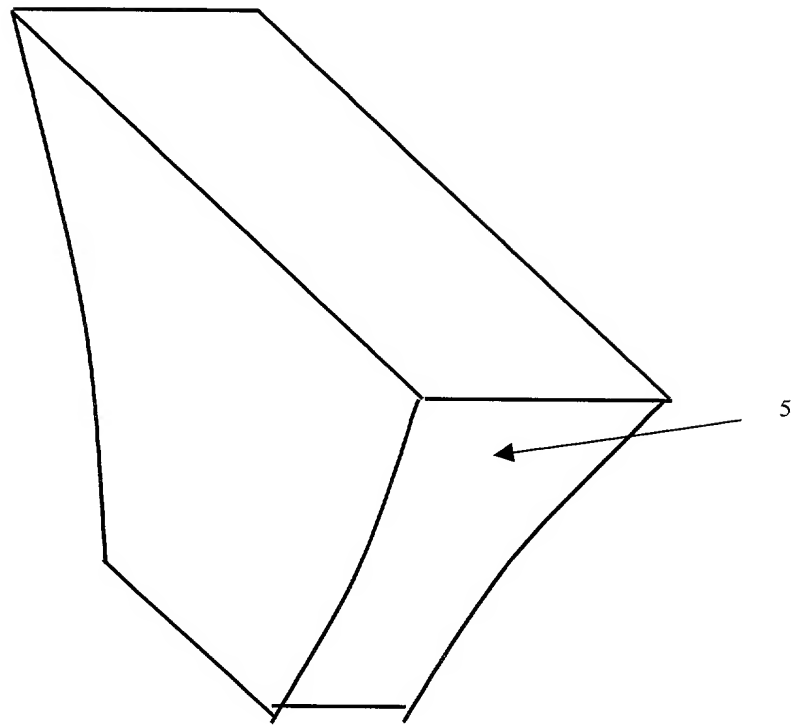


Fig. 16

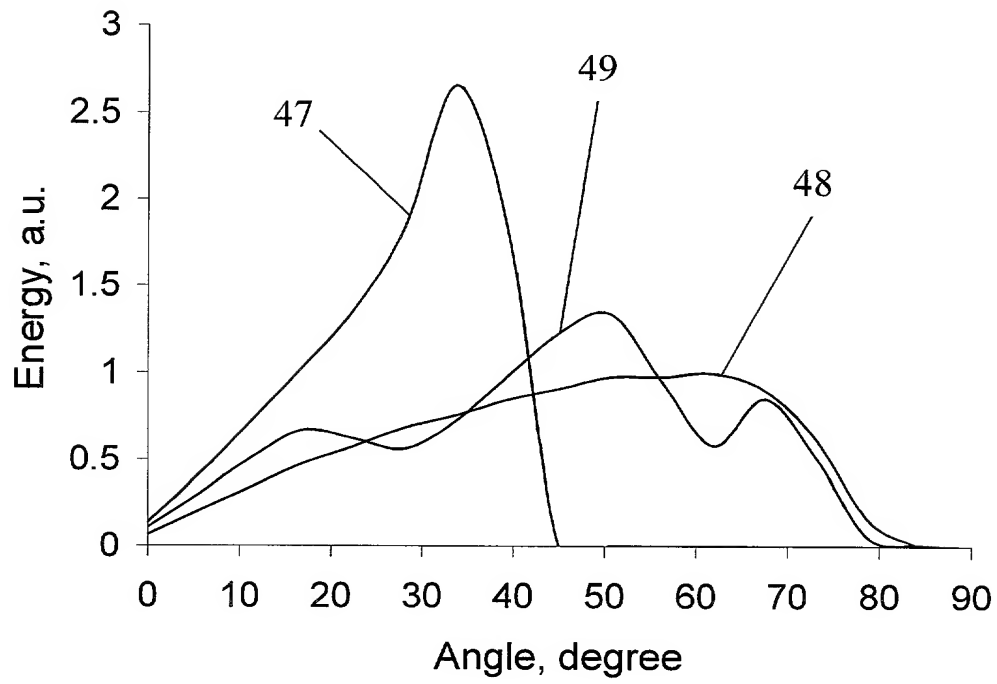


Fig. 17

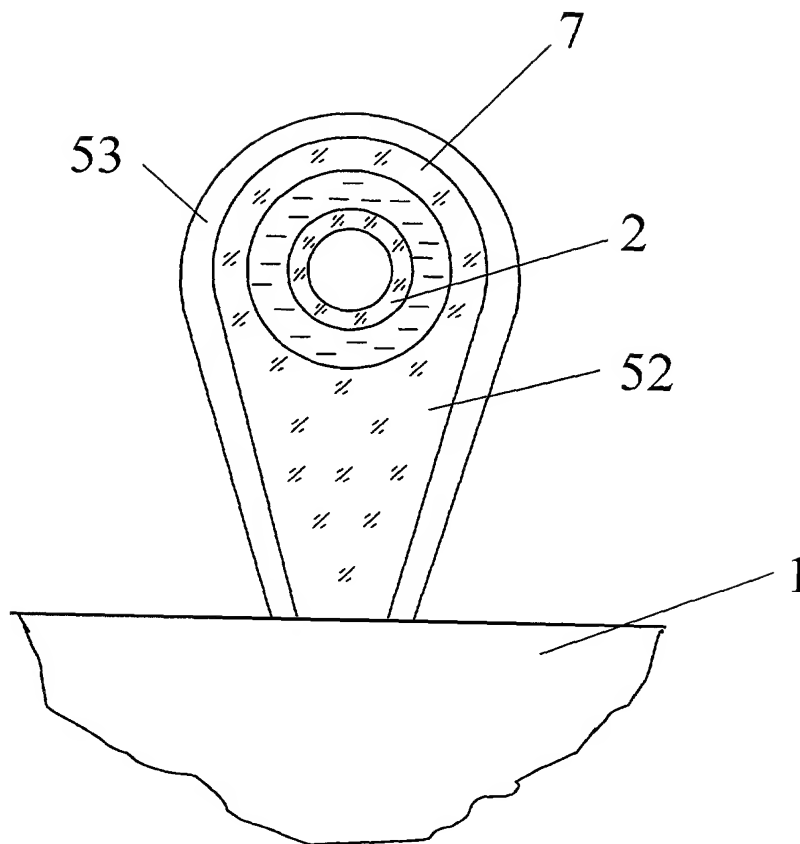


Fig. 18

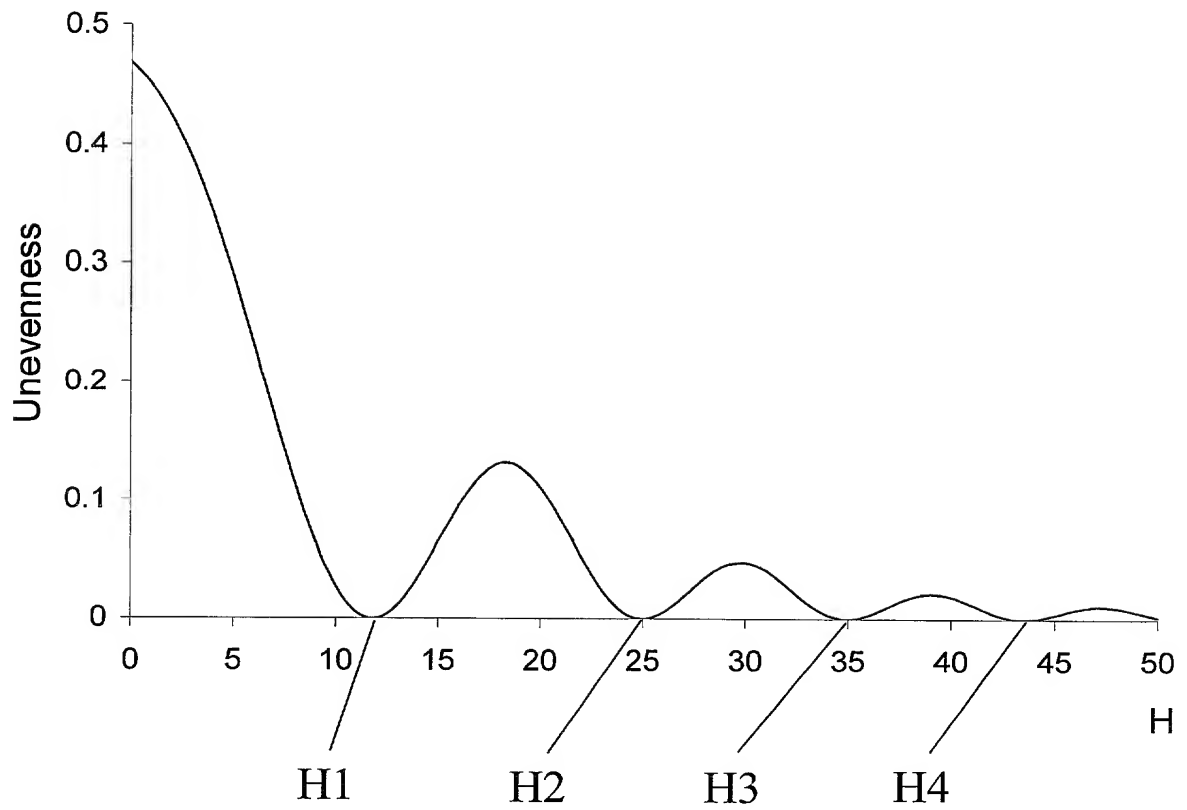


Fig. 19



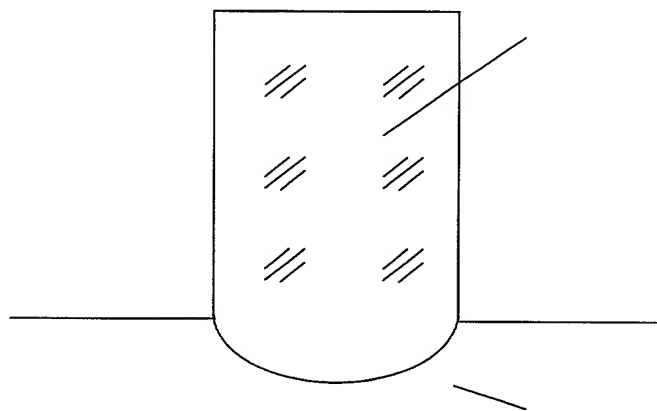


Fig. 20a

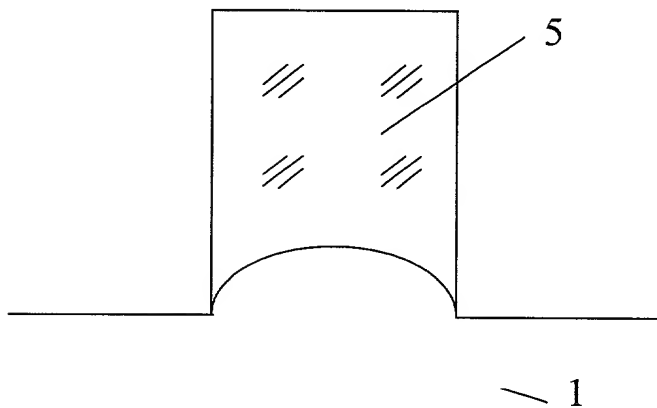


Fig. 20b

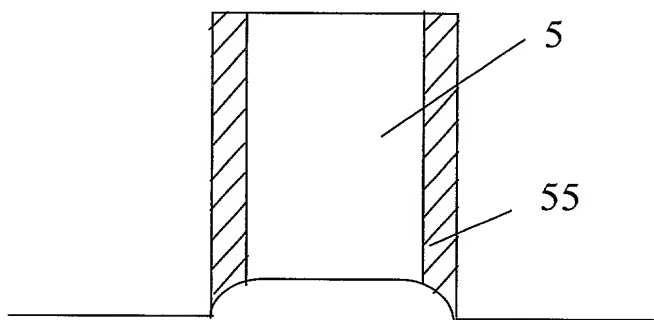


Fig. 20c

Pub. No. 2598007

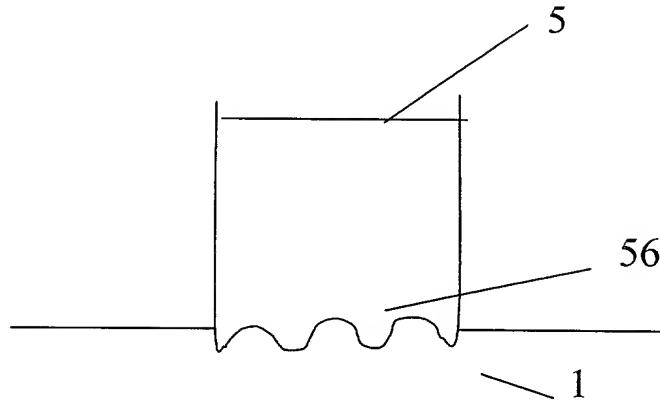


Fig. 20d

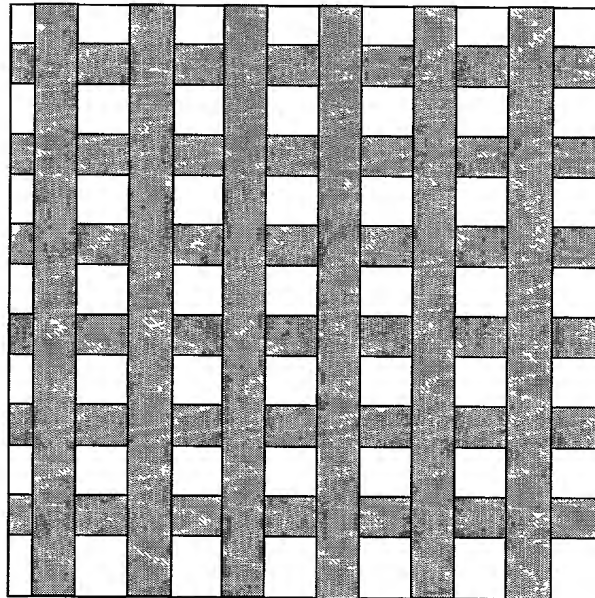
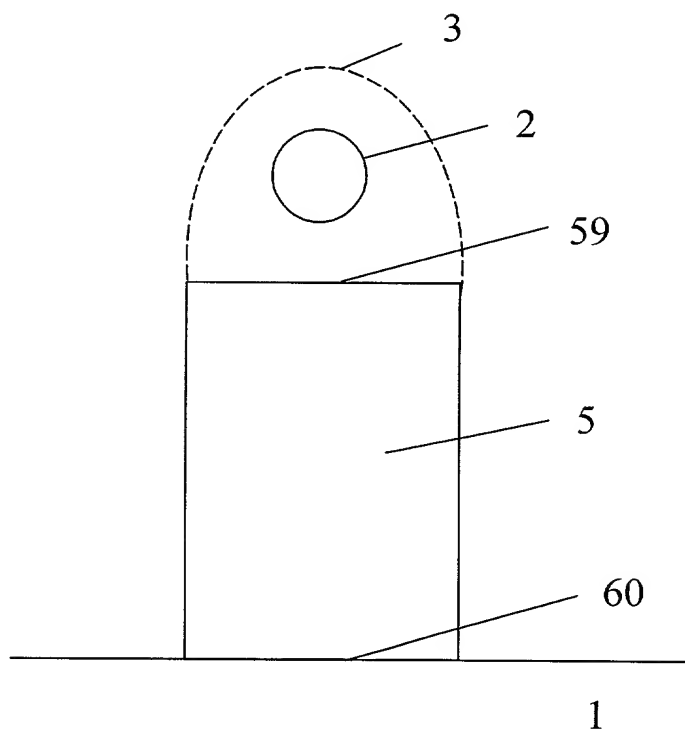
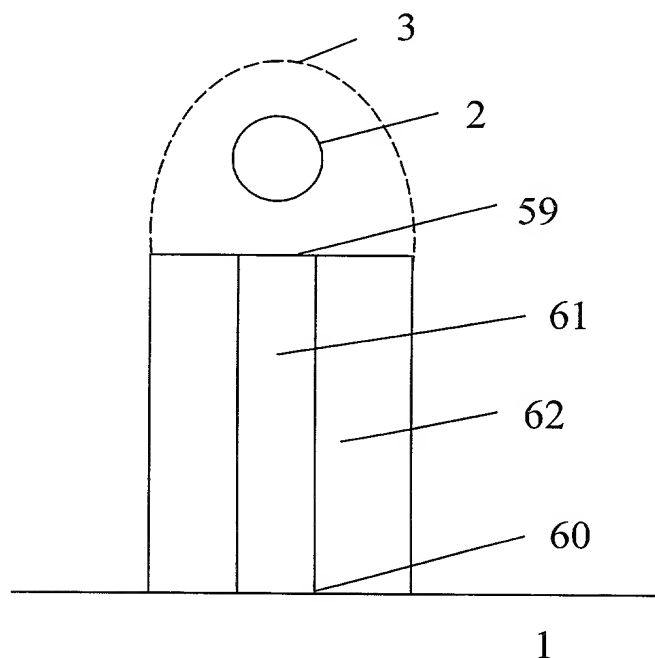


Fig. 20e



a.



b.

Fig. 21

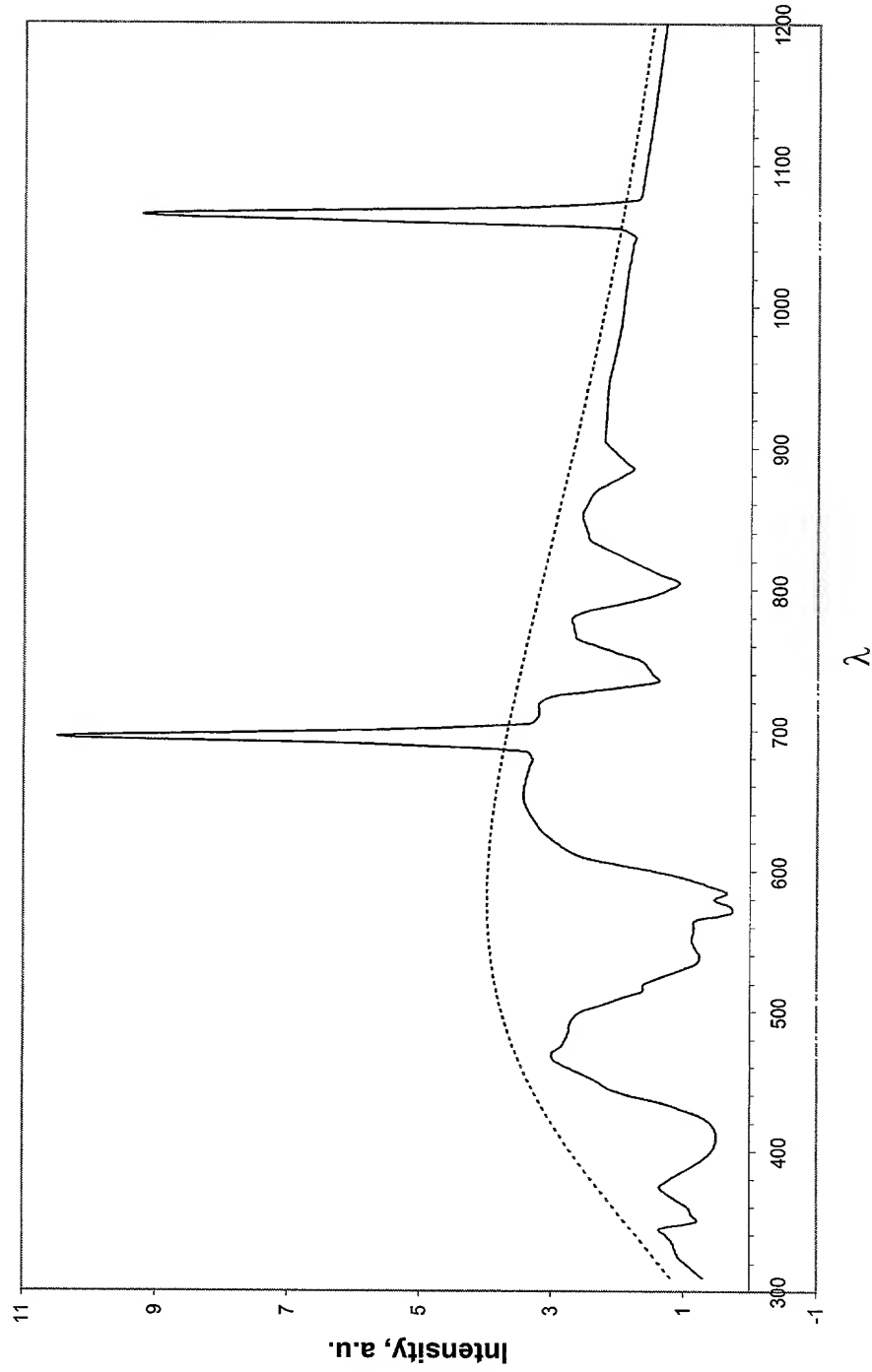
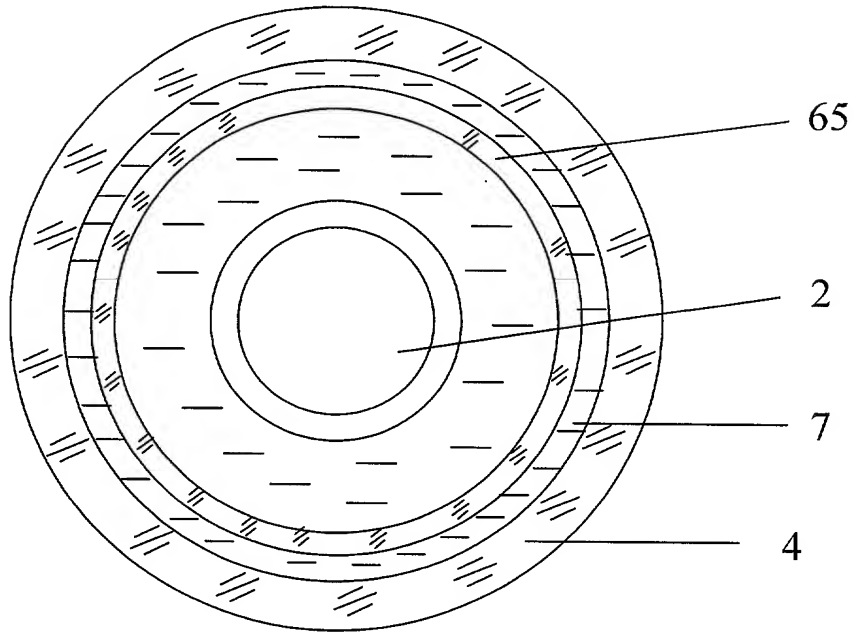
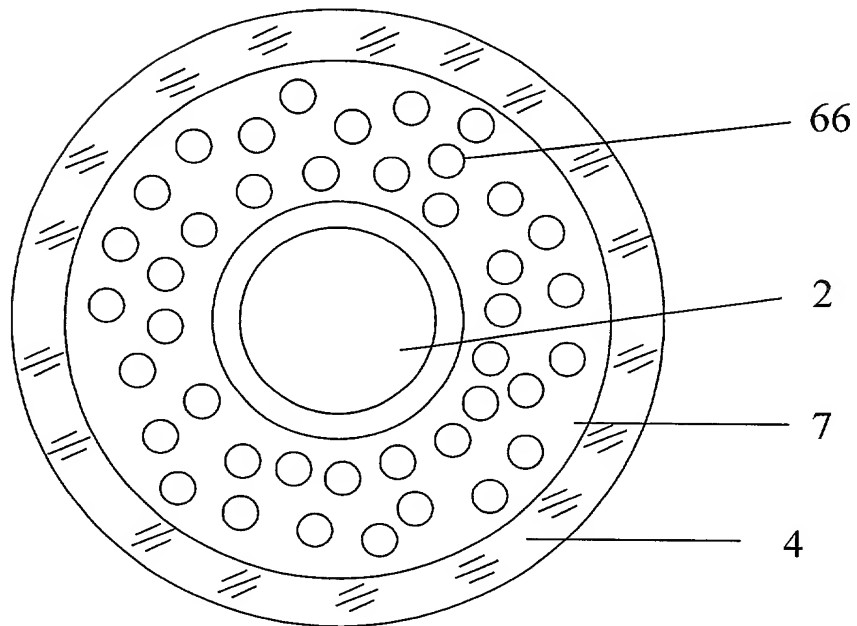


Fig. 22



a.



b.

Fig. 23

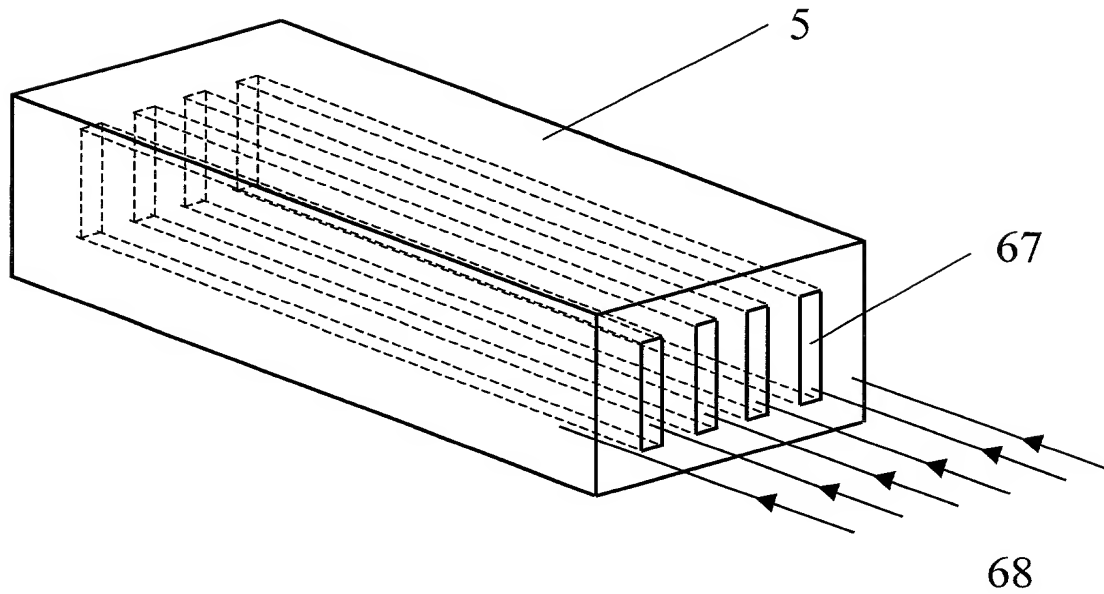


Fig. 24

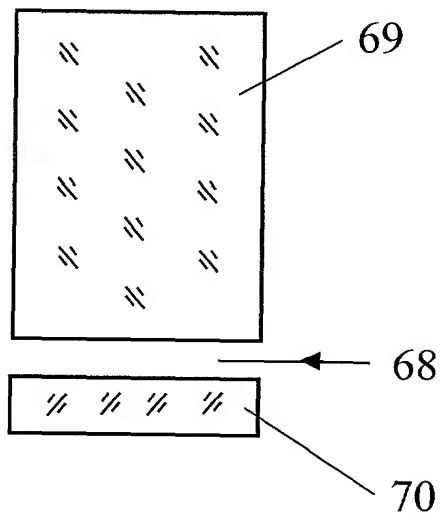


Fig. 25

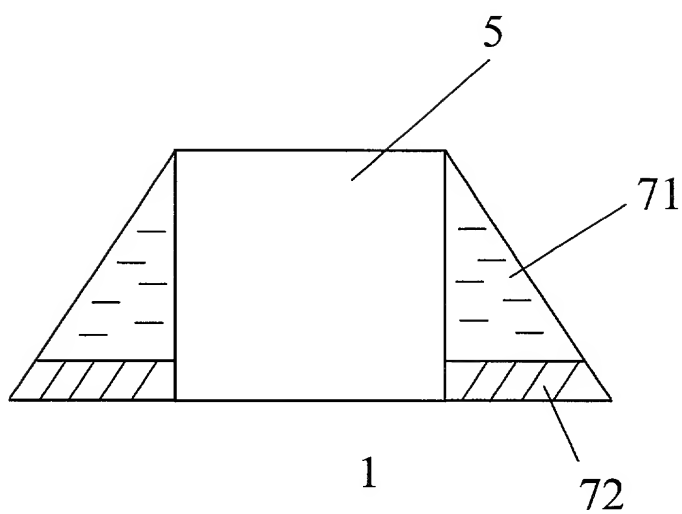


Fig. 26



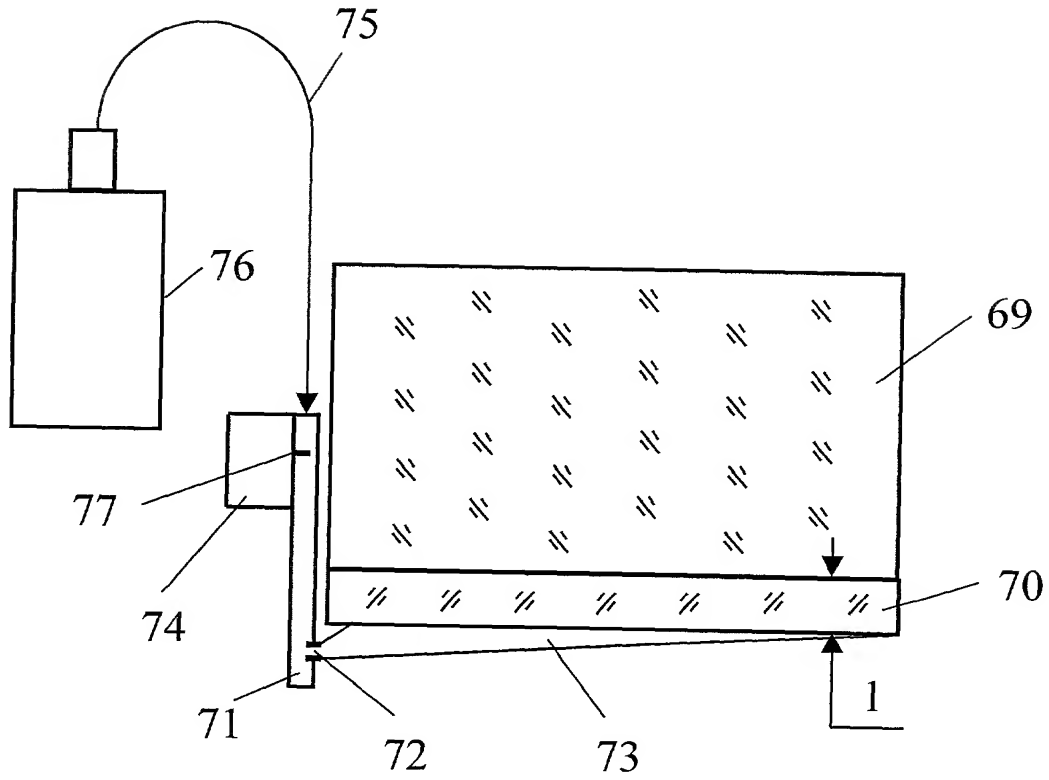


Fig. 27

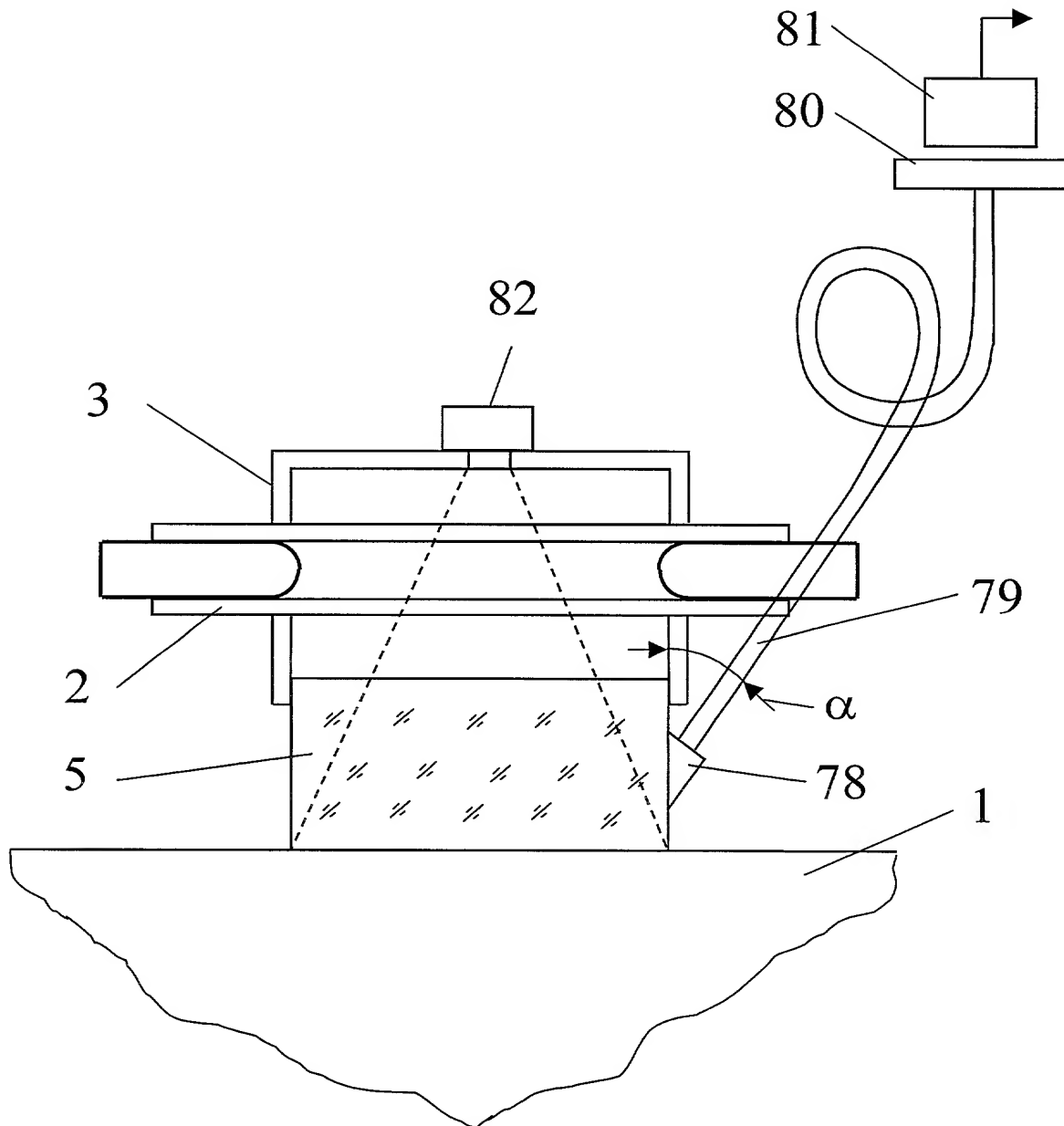


Fig. 28